



دانشگاه تحقیقات تکنیکی صنعتی کرمان

پایان نامه جهت دریافت درجه کارشناسی ارشد
دانشکده علوم و فناوری های نوین گروه فotonیک

عنوان :

تحلیل نظری سوراخ سوختگی طیفی و نوسان واهلشی در
تقویت کننده فیبر نوری آغشته به نقطه کوانتموی PbSe با
ثبتیت بهره تمام نوری

نگارش :

زهرا یزدانی

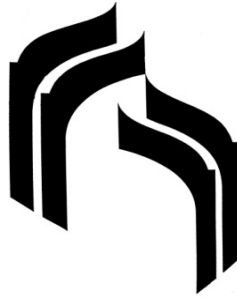
استادان راهنما :

دکتر علیرضا بهرامپور

دکتر مجید تراز

شهریور ۱۳۹۰

الله أكْبَرُ



دانشگاه تحقیقات تکنیکی صنعتی کرمان

پایان نامه جهت دریافت درجه کارشناسی ارشد
دانشکده علوم و فناوری های نوین گروه فوتونیک

عنوان :

تحلیل نظری سوراخ سوختگی طیفی و نوسان واهلشی در
تقویت کننده فیبر نوری آغشته به نقطه کوانتمومی PbSe با
ثبتیت بهره تمام نوری

نگارش :

زهرا یزدانی

استادان راهنما :

دکتر علیرضا بهرامپور

دکتر مجید تراز

شهریور ۱۳۹۰



این پایان نامه به عنوان یکی از شرایط احراز درجه کارشناسی ارشد به

**دانشکده علوم و فناوریهای نوین
دانشگاه تحصیلات تکمیلی صنعتی کرمان**

تسلیم شده است و هیچگونه مدرکی به عنوان فراغت از تحصیل دوره‌ی مذبور شناخته نمی‌شود.

داور ۱: جناب آقای دکتر محمد حسن یوسفی

داور ۲: جناب آقای دکتر محمد حسین زندی گوهري

استاد راهنمای اول پایان نامه: جناب آقای دکتر علیرضا بهرامپور

استاد راهنمای دوم پایان نامه: جناب آقای دکتر مجید تراز

استاد مشاور پایان نامه:

استاد مشاور پایان نامه:

نماينده تحصیلات تکمیلی: سرکار خانم دکتر مریم راشکی

دانشجو: زهرا یزدانی

حق چاپ محفوظ و مخصوص به مولف است.

تعهدنامه اصالت اثر

اینجانب زهرا بزدانی تعهد می‌کنم که مطالب مندرج در این پایان نامه حاصل کار پژوهشی اینجانب است و به دستاوردهای پژوهشی دیگران که در این نوشه از آن استفاده شده است مطابق مقررات ارجاع گردیده است. این پایان نامه پیش از این برای احراز هیچ مدرک هم سطح یا بالاتر ارائه نشده است.

کلیه حقوق مادی و معنوی این اثر متعلق به دانشگاه تحصیلات تکمیلی صنعتی کرمان می‌باشد.

نام و نام خانوادگی دانشجو: زهرا بزدانی

امضاء



بپاس تعبیر غمیم و انسانی شان از نکره اینوار و از خودگذشتگان

بپاس عاطفه سرشار و کرمای امید نخش وجود شان کد در این سردترین روزگاران بهترین پیشیبان است

بپاس قلب های نزدیکشان که فریاد رس است و سرکردانی و ترس در نهادشان به شجاعت می کراید

و بپاس محبت های بی دلنشان که هرگز فروکوش نمی کند

این مجموعه را به درو مادر عزیزم و همسر مهرانم تقدیم می کنم

چکیده:

تقویت کننده‌های فیبر نوری آغشته به نقاط کوانتموی بعنوان تقویت کننده‌های با پهنای باند زیاد، در تحقیقات کنونی در مخابرات نوری مورد توجه هستند. نقاط کوانتموی PbSe بهدلیل دارا بودن خواص ویژه، گزینه‌های بسیار مناسبی برای استفاده در تقویت کننده‌های فیبر نوری می‌باشند. طیف جذبی و نشری نقاط کوانتموی به شدت به اندازه آن‌ها وابسته است.

به منظور پایدارسازی بهره کانال‌های زنده در برابر روش و خاموش شدن کانال‌های دیگر، اثرهای پس خوران که در تعدادی از طول موج‌ها نوسان می‌کنند، پیشنهاد می‌شود. در این پایان‌نامه رفتار یک تقویت کننده فیبر نوری آغشته به نقطه کوانتموی در محیط غیر همگن، با افزودن یک پس خورد نوری به تقویت کننده، شبیه سازی شده و اثر پس خوران روی بهره تقویت کننده و پایدار سازی بهره مورد بررسی قرار گرفته است. رفتار نوسانی-واهلشی یک وارونگر تمام تار نوری به صورت نظری تحلیل شده است.

معادلات حاکم بر رفتار سیگنال لیزر، سیگنال تقویت شده، سیگنال پمپ و جمعیت تراز بالایی لیزر یک دستگاه معادلات دیفرانسیل جفت شده با مشتق‌های پاره‌ای به دست می‌دهند و عوامل مختلفی نظری طول تار، نسبت پس خورد نوری در لیزر حلقه‌ای، روی رفتار سیگنال لیزر مورد بررسی قرار خواهد گرفت. علاوه بر این، پدیده سوراخ سوختگی و دینامیک بهره در تقویت کننده‌های فیبر نوری آغشته به نقاط کوانتموی PbSe با تثبیت بهره تمام نوری مدل سازی می‌شود. نهایتاً اثر فیدبک بر روی نوفه ASE مورد بررسی قرار گرفته است. نشان داده شده است در حضور لیزر سوراخ سوختگی طیفی به میزان قابل توجهی کاهش پیدا کرده است، همچنین حضور لیزر، نوفه مربوط به تقویت کننده و یک خط انتقال را می‌تواند کاهش دهد.

کلمات کلیدی: پس خوران-سوراخ سوختگی طیفی-فیبر نوری آغشته به نقاط کوانتموی-نوسانی-واهلشی

عنوان فصل‌ها

صفحه	عنوان	فصل
۱	مقدمه	فصل اول
۵	تقویت کننده‌های فیبر نوری آغشته به یون اربیوم و روش پایدارسازی بهره در آن‌ها	فصل دوم
۳۷	تقویت کننده‌های فیبر نوری آغشته به نقطه کوانتومی	فصل سوم
۶۵	پایدارسازی بهره در تقویت کننده‌های فیبر نوری آغشته به نقاط کوانتومی PbSe	فصل چهارم
۸۹	نتیجه گیری و پیشنهادات	فصل پنجم

فهرست مطالب

صفحه	عنوان
۱	فصل اول: مقدمه
۱	۱-۱-۱- مقدمه
۵	فصل دوم: تقویت کننده‌های فیبر نوری آغشته به یون اربیوم و روش پایدارسازی بهره در آن‌ها ..
۶	۱-۲- فیبر نوری ..
۷	۱-۱-۲- انواع فیبرهای نوری ..
۷	۱-۱-۱-۲- فیبرنوری چند مد ..
۸	۱-۱-۱-۲-۲- فیبرنوری با ضریب شکست پلهای ..
۹	۱-۱-۱-۲-۳- فیبر نوری با ضریب شکست تدریجی ..
۹	۱-۱-۱-۲-۴- فیبر نوری تک مد ..
۱۰	۱-۱-۲-۲- تلفات و انواع آن در فیبرهای نوری ..
۱۱	۱-۱-۲-۱-۱-۲- تلفات ذاتی ..
۱۱	۱-۱-۲-۲-۱-۲- تلفات اکتسابی ..
۱۱	۱-۱-۲-۲-۱-۱-۲- ناخالصی از نوع فلزی ..
۱۲	۱-۱-۲-۲-۱-۲- ناخالصی از نوع غیر فلزی ..

۱۲ تلفات پراکندگی رایلی-۳-۲-۲-۱-۲
۱۲ تلفات موجبر-۴-۲-۲-۱-۲
۱۲ تلفات ریز- خمیش-۵-۲-۲-۱-۲
۱۳ تلفات کل در فیبرهای نوری-۳-۲-۱-۲
۱۳ تقویت کننده‌های فیبرنوری-۲-۲
۱۴ ۳-۲- دلایل در نظرگرفتن ناهمگنی
۱۵ ۴-۲- پدیده سوراخ سوختگی
۱۶ ۲-۲- اثر سوراخ سوختگی طیفی و واهلش متقابل در اشباع بهره تقویت کننده‌های لیزری
۱۷ ۶-۲- کنترل بهره اتوماتیک (AGC)
۱۸ ۱-۶-۲- روش کنترل پمپ
۱۹ ۲-۶-۲- روش سیگنال جبران کننده
۲۰ ۳-۶-۲- روش حلقه پس‌خواراند تمام نوری
۲۳ ۷-۲- مدل‌سازی تقویت کننده‌های فیبرنوری آغشته به اربیوم با پس‌خورد نوری و طول موج گزینشی.
۲۳ ۸-۲- تحلیل نظری سوراخ سوختگی طیفی و نوسان واهلشی در EDFA
۳۳ ۱-۸-۲- حل عددی دستگاه با دو سیگنال تقویتی و یک لیزر
۳۷ فصل سوم: تقویت کننده‌های فیبر نوری آغشته به نقطه کوانتمی
۴۲ ۱-۳- نیمه رساناهای شبیه صفر - بعدی: نقطه کوانتمومی
۴۴ ۱-۱-۳- جذب نوری در نقاط کوانتمومی
۴۸ ۲-۱-۳- وسائل فوتونیکی بر پایه نقاط کوانتمومی

۴۸	۲-۲-۳- تقویت کننده‌های فیبر نوری آغشته به نقطه کوانتومی.....
۵۱	۱-۲-۳- مدل تئوری.....
۵۸	۲-۲-۳- نتایج عددی.....
۶۵	فصل چهارم: پایدارسازی بهره در تقویت کننده‌های فیبر نوری آغشته به نقاط کوانتومی PbSe
۶۶	۴-۱- وارونگر با پس خورد نوری گزینشی در حالت پایا.....
۶۶	۱-۱-۴- مقدمه.....
۶۷	۱-۲-۱-۴- مدل سازی.....
۶۷	۱-۳-۱-۴- معادلات آهنگ و انتشار توان در حالت پایا.....
۶۸	۴-۱-۴- محاسبات عددی و نتایج.....
۷۱	۴-۲- بررسی رفتار وابسته به زمان وارونگر تمام تار نوری.....
۷۱	۱-۲-۴- مدل تئوری.....
۷۲	۱-۲-۲-۴- محاسبات عددی و نتایج.....
۷۵	۱-۳-۲-۴- حل عددی دستگاه با یک سیگنال تقویتی و یک سیگنال نوسانی.....
۷۶	۱-۴-۲-۴- حل عددی با دو سیگنال تقویتی.....
۷۸	۱-۵-۲-۴- حل عددی با دو سیگنال تقویتی و یک لیزر.....
۸۱	۱-۳-۳-۴- اثر پس خوران نوری بر روی تقویت گسیل خود به خودی (ASE) در QDDFA.....
۸۱	۱-۳-۴- مقدمه.....
۸۱	۱-۲-۳-۴- معادلات آهنگ و انتشار توان.....
۸۲	۱-۳-۳-۴- محاسبات عددی و نتایج.....

۸۹ فصل پنجم: نتیجه گیری و پیشنهادات

۹۲ پیوست

۹۳ فهرست مقالات

۹۴ واژه‌نامه

۹۷ مراجع

فهرست شکل‌ها

عنوان شکل	صفحه
شکل ۲-۱ ساختمان اساسی فیبر نوری ۷	
شکل ۲-۲ چگونگی انتشار نور در فیبرهای چند مد با ضریب شکست پله‌ای ۸	
شکل ۲-۳ چگونگی انتشار نور در فیبرهای چند مد با ضریب شکست تدریجی ۹	
شکل ۲-۴ چگونگی انتشار نور در یک فیبر نوری تک مد ۱۰	
شکل ۲-۵ گسیل القایی وقتی که خط دچار پهن شدگی: (الف) غیرهمگن، (ب) همگن شود [۶۹] ۱۶	
شکل ۲-۶ طرح کلی روش کنترل پمپ: (الف) روش پیش‌خوراند. (ب) روش پس‌خوراند ۱۸	
شکل ۲-۷ طرح کلی روش کنترل سیگنال: (الف) روش پیش‌خوراند (ب) روش پس‌خوراند ۱۹	
شکل ۲-۸ طرح تقویت کننده EDFA همراه با تثبیت کننده بهره تمام نوری ۲۰	
شکل ۲-۹ رفتار گذرای کانال زنده در طول موج ۱۵۵۲.۳ nm وقتی کانال قطع و وصل شونده در طول موج ۱۵۵۷.۸ nm قرار دارد. طول موج لیزر در: (الف) ۱۵۳۲ nm (ب) ۱۵۴۰ nm (ج) ۱۵۵۵ nm ۲۲	[۷۳]
شکل ۲-۱۰ شمایی از ترازهای انرژی اربیوم. جذب حالت برانگیخته (ESA) بین ترازهای $I_{1/2/2}$ و $I_{1/2/2}^*$ ۲۳	[۷۴]

شکل ۲-۱۲ رفتار وابسته به زمان کanal زنده ($\lambda_{\text{س}} = 1557.8 \text{ nm}$) وقتی که ($\lambda_{\text{s}2} = 1552.3 \text{ nm}$) قطع وصل می‌شود. لیزر در (الف) 1540 nm ، (ب) 1532 nm و (ج) 1555 nm قرار دارد (مدل سه ۳۴ ترازی).

شکل ۲-۱۳ رفتار زمانی دو سیگنال (لیزری برای ثبت بهره وجود ندارد) (الف) چهار ترازی، (ب) سه ۳۵ ترازی.

شکل ۳-۱ ساختار نیمه هادی کپهای CdSe

شکل ۳-۲ حالات گسسته شبه اتمی در نقطه کوانتمی

شکل ۳-۳ چگالی حالات برای الکترون‌ها در باند رسانش توده‌ای و هندسه‌های حبس شده گوناگون [۴۵].

شکل ۳-۴ شکل مربوط به پنجره مخابراتی.

شکل ۳-۵ طیف جذبی و گسیلی نقطه کوانتمی PbSe با قطر 5.5 نانومتر [۸۰].

شکل ۳-۶ انرژی اولین قله جذب (با نقطه دایره‌ای) و اولین قله گسیل (با نقطه مثلثی) نقطه کوانتمی PbSe بر حسب شعاع

شکل ۳-۷ سطح مقطع همگن گسیل (سمت راست) و اولین قله سطح مقطع همگن جذب (سمت چپ).

شکل ۳-۸ طیف بهره به صورت تابعی از طول موج برای مقادیر مختلف انحراف معیار تابع توزیع شعاعی.

شکل ۳-۹ طیف بهره به صورت تابعی از طول موج برای دو توان سیگنال متفاوت با مقادیر مختلف F

شکل ۳-۱۰ طیف بهره برای ۷۰ سیگنال با توان‌های متفاوت

شکل ۳-۱۱ طیف بهره برای سه توزیع شعاعی QDs-PbSe

شکل ۳-۱۲ طیف بهره برای تعداد کanal‌های مختلف (توان سیگنال‌ها -20 dB)

شکل ۴-۱ تغییر توان سیگنال تقویتی ($\lambda = 1572 \text{ nm}$) در طول تار بدون حضور لیزر (خط پر رنگ) و با حضور لیزر با (خط چین).

شکل ۴-۲ تغییر بهره سیگنال تقویتی بدون حضور لیزر. خط چین مربوط به حالتی که ۲۰ عدد سیگنال خاموش شده است.

شکل ۴-۳ تغییر بهره سیگنال تقویتی در حضور لیزر. (خط) مربوط به حالتی است که ۲۰ عدد کانال خاموش می‌باشد و (نقطه) مربوط به حالتی است که ۲۰ عدد کانال روشن می‌باشد.

شکل ۴-۴ رفتار سیگنال نوسانی به ازای طول تار ۴ متر، نسبت پس‌خورد ۸٪ و توان ورودی پمپ ۷۳

شکل ۴-۵ رفتار سیگنال نوسانی به ازای طول تار ۲ متر، نسبت پس‌خورد ۸٪ و توان ورودی پمپ ۷۳

شکل ۴-۶ رفتار سیگنال نوسانی به ازای طول تار ۴ متر، نسبت پس‌خورد ۸٪ و توان ورودی پمپ ۷۴

شکل ۴-۷ رفتار سیگنال نوسانی به ازای طول تار ۴ متر، نسبت پس‌خوران ۶٪ و توان ورودی پمپ ۷۴

شکل ۴-۸ رفتار زمانی سیگنال نوسانی

شکل ۴-۹ رفتار زمانی دو سیگنال تقویتی (لیزری برای ثبیت بهره وجود ندارد)

شکل ۴-۱۰ رفتار وابسته به زمان کanal زنده ($\lambda = 1620\text{ nm}$) وقتی که ($\lambda = 1622\text{ nm}$) قطع و وصل می‌شود. لیزر در: الف) $\lambda = 1620\text{ nm}$ ، ب) $\lambda = 1627\text{ nm}$ ، ج) $\lambda = 1630\text{ nm}$ ، قرار دارد.

شکل ۴-۱۱ رفتار سیگنال تقویتی در غیاب ASE پس‌رو و پیش‌رو.

شکل ۴-۱۲ رفتار سیگنال تقویتی در حضور ASE پس‌رو و پیش‌رو.

شکل ۴-۱۳ الف) رفتار زمانی ASE پیش‌رو. ب) رفتار زمانی ASE پس‌رو.

شکل ۴-۱۴ رفتار سیگنال تقویتی در حضور لیزر.

شکل ۴-۱۵ رفتار سیگنال تقویتی در حضور لیزر و ASE پیش‌رو و پس‌رو.

شکل ۴-۱۶ شکل مربوط به خط انتقال و نحوه عملکرد نوفه بر روی سیگنال پس از عبور از چند تقویت

کننده.....

۸۸

فهرست جداول

عنوان جدول	صفحة
جدول ۳-۱ طبقه بندی محبس‌های کوانتمی از نظر افروس.	۴۴
جدول ۳-۲ نامگذاری بازه‌های مخابراتی	۴۹
جدول ۳-۳ داده‌ها	۶۰

فصل اول

مقدمه

در طول سال‌های گذشته، شکل‌های مختلفی از سیستم‌های مخابراتی عرضه شده است. علت اصلی این حرکت و پیشرفت، ارسال و انتقال اطلاعات و پیام‌ها به فاصله‌های دورتر و افزایش سرعت انتقال و حجم ارسال بیشتری از اطلاعات در واحد زمان(ظرفیت سیستم) بوده است.

اما نیاز بشر به افزایش حجم بیشتر انتقال اطلاعات، چاره‌ای جز افزایش پهنانی باند پنجره مخابراتی را در پی نداشت. به این ترتیب بود که بشر دوباره به فکر استفاده از نور برای مخابرات افتاد. ولی از مهم‌ترین سدهای مقابله این هدف یکی منبع نوری مناسب (پر شدت و همدوس) و دیگری محیط مناسب (با افت، پاشندگی و پراکندگی کم) بود.

گام اصلی با اختراع لیزر توسط آقای میمن در سال ۱۹۶۰ برداشته شد. لیزر به‌واسطه نور پر شدت و همدوس خود به عنوان بهترین گزینه برای منبع نوری در مخابرات نوری برگزیده شد.

فیبر نوری از تمام محیط‌های انتقال شناخته شده، دارای پهنانی باند وسیع‌تر و افت کمتری می‌باشد. این دو مزیت دو عامل عمدی در ارزیابی سیستم‌های مخابراتی به‌شمار می‌روند.

با وجود تلفات ناچیز فیبرهای نوری، برای انتقال اطلاعات در مسافت‌های طولانی بیشتر از ۵۰ کیلومتر، نیاز به تقویت دوباره پالس‌های نوری است. ایده تقویت مستقیم پالس‌های نوری باعث شد که حجم انتقال اطلاعات و بهره تقویت کنندگی به‌طور قابل ملاحظه‌ای افزایش یابد. استفاده از تقویت کننده‌های فیبرنوری منجر به کاهش تعداد تقویت کننده‌ها در شبکه مخابرات نوری می‌شود که از نظر اقتصادی کاهش در هزینه خدمات مخابراتی را به‌دلیل خواهد داشت. ظرفیت سیستم‌های انتقال، به‌شدت به پهنانی باند تقویت کننده فیبر نوری بستگی دارد. در دهه اخیر، تقویت کننده‌های فیبر نوری، براساس پراکندگی رامان برانگیخته [۲-۱] و تقویت کننده‌های فیبر نوری آغشته به عناصر خاکی کمیاب مانند Nd^{+3} ، Pr^{+3} ($1.۳۱\ \mu\text{m}$)، Tm^{+3} ($1.۴۷\ \mu\text{m}$) و S-band ، C-band ، L-band ، Er^{+3} ($1.۵۵\ \mu\text{m}$) پیشرفت نموده و تجاری شدند [۳-۵].

با این حال تاکنون تقویت کننده‌های نوری که هم اتلافشان کم باشد و هم پهنانی باند زیاد داشته باشند و در عین حال تمام پنجره مخابراتی (۱.۲-۱.۷ نانومتر) را پوشش دهند، در دسترس نبوده‌اند. از لحاظ تئوری

تقویت کننده‌های فیبر نوری بر اساس رامان هیچ گونه محدودیتی روی پهنهای باند و بهره ایجاد نمی‌کنند ولی از لحاظ عملی به خاطر پیچیدگی در سیستم، تنها حدود ۱۰۰ nm پهنهای باند می‌توان ایجاد کرد.

به منظور افزایش ظرفیت سیستم‌های DWDM و CWDM نیاز به تقویت سیگنال‌هایی خارج از محدوده تقویت کننده‌های فیبر نوری آغشته به عناصر خاکی می‌باشد. به دلیل مشخصه طیفی اتم‌های طبیعی که به خصوصیات ترازهای انرژی‌شان برمی‌گردد، پهنهای باند تقویت کننده‌های آغشته به این نوع اتم‌ها محدود است. بنابراین برای غلبه بر این مشکل به جای اتم‌های طبیعی می‌توان از اتم‌های مصنوعی استفاده کرد [۶].

به همین خاطر در چند ساله اخیر نقاط کوانتمی (نانوکریستال‌های نیمه‌رسانا) بعنوان اتم‌های مصنوعی، با گذارهای الکترونی قابل تنظیم در مخابرات نوری و دیگر بخش‌های صنعت مورد توجه قرار گرفته اند [۷-۶].

به خاطر قطر بزرگ نقاط کوانتمی PbSe، سطح مقطع‌های جذب و گسیل این نقاط کوانتمی ۵ برابر بزرگ‌تر از سطح مقطع‌های جذب و گسیل یون‌های اربیوم (Er^{+3}) می‌باشد. تار آغشته به نقاط کوانتمی PbSe یک بهره بالا روی تمام پنجره مخابراتی ۱.۷-۱.۲ نانومتر ایجاد می‌کند. بنابراین QDDFA PbSe یک نماینده عالی از تقویت کننده‌های فیبر نوری برای سیستم‌های DWDM و CWDM در شبکه‌های پر ترافیک شهرهای بزرگ می‌باشد.

در سیستم‌های DWDM و CWDM همواره کانال‌ها خاموش و روشن می‌شوند که این خاموش و روشن شدن روی توان بقیه کانال‌های زنده تاثیر می‌گذارد و بهره تقویت کننده را تعیین می‌دهد. با روشن شدن یک یا چند کanal، توان کانال‌های زنده کاهش و با خاموش شدن آن‌ها توان کانال‌های زنده افزایش می‌یابد که این به معنی هم‌شنوایی است. یکی از راه‌های کاهش هم‌شنوایی، استفاده از سیستم پس‌خوران نوری می‌باشد. به این ترتیب طول موج‌های مختلف به جای این‌که با یکدیگر به رقابت بپردازند در جهت استفاده از QD هایی که در اختیار طول موج نوسانی (لیزر) است تلاش می‌نمایند و ضریب تقویت برای آن‌ها ثابت می‌شود و هم‌شنوایی از بین می‌رود.

گسیل خودبه‌خودی یکی از فرآیندهای مهم در تقویت کننده‌های فیبر نوری آغشته به نقاط کوانتومی QDDFA می‌باشد. فوتونی که در اثر گسیل تابش شده، از طریق فرآیند گسیل القایی، سبب فروافت نقاط کوانتومی بیشتری می‌شود که نتیجه آن خلق فوتون‌هایی با همان مد میدان الکتریکی فوتون خودبه‌خودی